

捕食・被捕食者系の遷移

立命館 理工 中島 久男
坂部 青人

はじめに 今世紀に入り, V. Volterra, A. J. Lotka 等によつて始められた生態系の數理的取り扱いは、その後も多くの研究者によつて解析され発展してきていふ。それらの研究を概観してみると、問題を取り扱う方法、観点において二つの異った立場がある。一つは V. Volterra (1928, 1931, 1937), A. J. Lotka (1910, 1920, 1954) の仕事にみられるような力学的方法である。この方法では系の状態変数として系を構成する各生物種の個体数(生体量) x_i をとり、その時間的変化を多くの場合、非線型連立常微分方程式系を用ひて記述し、平衡点の力学的安定性、周期解の存在条件等を考察していふ。そこで用ひられる方程式系の一つの典型として次に表わされるよろづや Lotka-Volterra 系がある。

$$\frac{dx_i}{dt} = (\varepsilon_i + \sum_j a_{ij}x_j)x_i \quad (i=1, 2, \dots, N)$$

π_{ij} は内在的な増殖率であり、 a_{ij} ($i, j = 1, \dots, N$) は種 i と種 j との間 ($i=j$ のときは種内の) 相互作用を表す係数であり、 N は系内の生物種の数である。

この力学的方法とは別に、生態系を全体として促える量（概念）を定式化していく方法がある。力学的方法では、系を構成する個々の生物種の振舞いを問題にしていたが、系の構造あるいは系全体の状態を特徴づける量（概念）を見出し、その量を用いて生物現象の一般的な法則を導いており、その量の性質から種々の生物現象の説明をする試みがなされていく。そこにおける巨視的量（概念）としては、系内の生物種の数、生物種の多様性、系の複雑度、生態系内のエネルギー一流、効率などがある。

生態系において、各々の生物種の個体数が変動する時間スケールによりもとより長時間かけて系の構成や生物種の特性が変化する遷移や進化の過程がある。その過程における変化の方向性と上に述べたような系の巨視的な量との関連についての幾つかの主張がこれまでになされていく。

A.J. Lotka (1922) はエネルギー論の立場から進化によってエネルギー一流が増加すると主張していく。そこでは「自己の生存のために系内にある利用可能なエネルギーをより多く利用するものが生存競争において優位を占ることは原理である。

そしてこの原理が認められるならば、自然選択の過程でより多くのエネルギーを利用する種が生き残り、系のエネルギー流は増加する」と述べられてる。さうに Lotka は「進化は系内のエネルギー流を最大にするように進む」ということを熱力学の第4法則として認めることが提案してある。

これに対し、H.T. Odum (1971) は Lotka の「うエネルギー流に対応して "Power" が進化の過程で増加する」としてある。この "Power" は個々の場合につけて具体的に定義されることはいいが、エネルギー流とその流れを引き起こす力との積として定義される。

また D.R. Margalef (1968) はより具体的に定義された量を用いて仮説を提出している。彼の仮説では「遷移や進化の過程で系の成熟度が増す」とされてる。遷移や進化の過程は系内に情報が蓄積され系が組織化されいく過程とみられ、そしてより情報を蓄積し、より組織化された系では系を維持するための総代謝率はより小さくなるはずである。つまり、系の成熟度は系の総代謝率 $\pi =$ (単位面積あたり、単位時間あたりの第1次生産者の生産量) / (単位面積あたりの全生体量) で測ることができる、成熟度の高い系ほど総代謝率は小さくなるのである。この関係から仮説は「遷移や進化の過程で系の総代謝率は減少する」といいえられる。この

Margalef の仮説の定式化とその解析は M. Tansky (1976) によ
り行われてゐる。

上の二つの主張の他に、進化や遷移の過程における系を構成する種の多様性が増すとか、系が複雑になり系の安定性が増すなどともいわれてゐる (C. S. Elton (1958))。しかし、多くの議論は観察や観測に基づいて定性的なものに終つており、理論的検討は十分にはされてゐないといえども現状である。そこで我々は簡単な遷移のモデルを用い計算機によるシミュレーションから遷移の非可逆性を示す生物量的な量を見出す試みを行つた。

モデル 我々は捕食者と被捕食者からなる二栄養段階の系を考え、種間および種内相互作用は Lotka-Volterra 型とした。すなわち x_i を被捕食者の生体量、 y_k を捕食者の生体量とし、これらの量の時間的変化は Lotka-Volterra 型微分方程式系

$$\begin{aligned} \frac{dx_i}{dt} &= (k_i - \sum_{j=1}^n a_{ij} x_j - \sum_{e=1}^m b_{ie} y_e) x_i \\ \frac{dy_k}{dt} &= (-r_k + \sum_{j=1}^n b'_{kj} x_j) y_k \end{aligned} \quad \left. \right\} (1)$$

$$(i = 1, 2, \dots, n; \quad k = 1, 2, \dots, m)$$

とした。ただし $K_i (>0)$ は被捕食者 i の Carrying Capacity に対応する量であり、 $a_{ij} (>0)$ は被捕食者 i, j 間の競争の係数、 $b_{ie} (>0)$ は被捕食者 i が捕食者 e によって捕食される割合、 $r_k (>0)$ は捕食者 k の死亡率、 $b'_{kj} (>0)$ は被捕食者 j を捕食する k による捕食者 k の生体量の増加率である。

被捕食者と捕食者系 (1) が其存安定平衡状態にあつたとする。之に新しく生物種が侵入する場合を考える。侵入生物種の個体数(生体量)は非常に小エハきのとす。はじめ N 種からなる系が生物種の侵入により $N+1$ 種の系となるが、状態変化は式 (1) によつて支配される。すなはち $N+1$ 種系で侵入種の生体量が 0 で他のそれらが正の値を持つ平衡点に状態が立ち、たゞ $N+1$ 番目の生物の侵入により状態はとの平衡点の逆像にとひ、それ以後式 (1) によつて状態が変化していく。その状態変化大ト、マ再び元の平衡状態に戻る場合と、別の平衡状態に落ち着く場合とがある。前者の場合には侵入種は系に定着できなかつたことになり、後者の場合は定着に成功したことになる。また侵入種が系に定着する場合に、系の種数が侵入種のぶんだけ上増す場合や、在来種のうち 1 種が滅亡し侵入種がそれとおまかわつて系の種数が変化しない場合、さうに、在来種の 2 種以上が滅亡して系の種数が減少する場

合がある。

系はいずれにせよ平衡状態に落ち着くか、さらにはそこには別の侵入種が入り、これまで状態変化をするという繰り返しを考える。ここでは生物種の侵入頻度が少く、状態変化の途中で平衡状態に落ち着く前に次の侵入が起こることなどがないと仮定している。

我々は、種間相互作用の構造を与えるために一次元 niche 空間を用いた。niche は生物的環境における位置を表すものでその生物の特性の一つである。簡単のために我々は niche 空間を一次元化し、便護的に $(0, 1)$ 区間を考えた。被捕食者 i の niche の位置を g_i とすると、carrying capacity に対する量 K_i を

$$K_i = K(g_i)$$

と niche の位置の関数で与える。また $U(g, g_i)$ を被捕食者 i の資源利用関数とし、 α_{ij} の競争係数を

$$\alpha_{ij} = \frac{\int U(g, g_i) U(g, g_j) dg}{\int [U(g, g_i)]^2 dg} \quad (2)$$

とする (J. Roughgarden (1979))。

モデルの力学的安定性

[結果 1] 式(2)で定義された a_{ij} を作る行列は

$$\int \{u(g, g_i)\}^2 dg$$

が i によらず一定値を持つならば正定値行列となる。(J. Roughgarden (1979).)

(証) x_i を実数とすると

$$\begin{aligned} \sum_{i,j} x_i a_{ij} x_j &= \sum_{i,j} \frac{x_i \left\{ \int u(g, g_i) u(g, g_j) dg \right\} x_j}{\int \{u(g, g_i)\}^2 dg} \\ &= \frac{1}{C} \sum_{i,j} \int x_i u(g, g_i) u(g, g_j) x_j dg \\ &= \frac{1}{C} \int \sum_i x_i u(g, g_i) \left\{ \sum_i x_i u(g, g_i) \right\}^2 dg \\ &\geq 0 \end{aligned}$$

となり証明される。

[結果 2] 式(1)で定義される系で捕食者か被捕食者の遷移を考える ($m=0$)。どうして

$$a_{ij} = a_{ji}$$

と仮定する。平衡状態における各生物種の生体量を $\{x_i^*\}$ とし
てとき

$$G^* = \sum_i k_i x_i^*$$

が量は遷移の過程で増加する。

(証)

$$G = \sum_i k_i x_i - \sum_{i,j} a_{ij} x_i x_j$$

とする。(1)に従う G の時間変化は

$$\begin{aligned} \frac{dG}{dt} &= \sum_i \frac{\partial G}{\partial x_i} \frac{dx_i}{dt} = \sum_i \left\{ k_i - \sum_j a_{ij} x_j - \sum_j a_{ji} x_j \right\} \\ &\quad \times \left\{ k_i - \sum_j a_{ij} x_j \right\} x_i \\ &= \sum_i 2 \left\{ k_i - \sum_j a_{ij} x_j \right\}^2 x_i \\ &\quad (\because a_{ij} = a_{ji}) \\ &\geq 0 \end{aligned}$$

となり、 $G(x_1, \dots, x_n)$ は系の Lyapounov 関数となる。すなはち上式より

$$G(x_1^{**}, \dots, x_n^{**}, x_{n+1}^{**}) \geq G(x_1^*, \dots, x_n^*)$$

となり、平衡状態における G の値は平衡の条件

$$(k_i - \sum_j a_{ij} x_j^*) x_i^* = 0 \quad (i=1, \dots, n)$$

を用ひて

$$\begin{aligned} G^* &= 2 \sum_i k_i x_i^* - \sum_{i,j} a_{ij} x_i^* x_j^* \\ &= 2 \sum_i k_i x_i^* - \sum_i k_i x_i^* = \sum_i k_i x_i^* \end{aligned}$$

となり上の方程式が証明された。

[結果3] 式(1)において a_{ij} が作る行列が正定値であるか

つ

$$\frac{b_{ik}}{b_{ki}} = \beta_k \quad (\beta_k > 0)$$

という関係があるとき、共存平衡点が存在すればそれは大域的に安定である。

(証) 共存平衡点を $\{x_i^*, y_k^*\}$ とする。

$$F = \sum_i \left(-x_i^* \ln \frac{x_i^*}{x_i} + x_i - x_i^* \right) + \sum_k \beta_k \left(-y_k^* \ln \frac{y_k^*}{y_k} + y_k - y_k^* \right)$$

と定義する。 $x_i > 0, y_k > 0$ において F は非負であり、0 となるのは共存平衡点のみである。(1) に従う F の時間変化は

$$\begin{aligned}
 \frac{dF}{dt} &= \sum_i \frac{x_i - x_i^*}{x_i} (K_i - \sum_j a_{ij} x_j - \sum_\ell b_{i\ell} y_\ell) x_i \\
 &\quad + \sum_k \beta_k \frac{y_k - y_k^*}{y_k} (-r_k + \sum_j b'_{kj} x_j) y_k \\
 &= \sum_i (x_i - x_i^*) \left\{ - \sum_j a_{ij} (x_j - x_j^*) - \sum_\ell b_{i\ell} (y_\ell - y_\ell^*) \right\} \\
 &\quad + \sum_k \beta_k (y_k - y_k^*) \left\{ \sum_j b'_{kj} (x_j - x_j^*) \right\} \\
 &= - \sum_i (x_i - x_i^*) a_{ij} (x_j - x_j^*) - \sum_{i,\ell} b_{i\ell} (x_i - x_i^*)(y_\ell - y_\ell^*) \\
 &\quad + \sum_{k,j} \frac{b'_{jk}}{b'_{kj}} (y_k - y_k^*) b'_{kj} (x_j - x_j^*) \\
 &= - \sum_i (x_i - x_i^*) a_{ij} (x_j - x_j^*) \leq 0
 \end{aligned}$$

となり式(1)のLyapounov関数は常に減少するから
められ大域的安定性を示す。

[結果4] 式(1)において a_{ij} が作る行列が正定値であるか

$$\frac{b_{ik}}{b'_{ki}} = \beta_k \quad (\beta_k > 0)$$

という関係があり、其存平衡点が存在しないとき、^{局所}平衡点があればそれは大域的に安定である。(すなはち平衡点が存在すればそれは唯一一つで大域的に安定である。)

(証) ^{局部} 安定平衡点における $x_i^* > 0$ ($1 \leq i \leq n'$), $x_i^* = 0$ ($i+1 \leq n \leq n$); $y_k^* > 0$ ($1 \leq k \leq m'$), $y_k^* = 0$ ($m'+1 \leq k \leq m$) とする。

$$F = \sum_{p=1}^{n'} (-x_p^* \ln \frac{x_p}{x_p^*} + x_p - x_p^*) + \sum_{g=n'+1}^n x_g \\ + \sum_{s=1}^{m'} \beta_s (-y_s^* \ln \frac{y_s}{y_s^*} + y_s - y_s^*) + \sum_{t=m'+1}^m y_t$$

と定義する。Fは $x_i, y_k \geq 0$ で非負であり上記の安定平衡点のみ0となる。

また局部安定性より

$$K_g - \sum_{j=1}^{n'} a_{gj} x_j^* - \sum_{\ell=1}^{m'} b_{g\ell} y_\ell^* < 0 \quad (g=n'+1, \dots, n)$$

$$-r_t + \sum_{j=1}^{n'} b_{tj}^* x_j^* < 0 \quad (t=m'+1, \dots, m)$$

が成り立つ。式(1)に従うFの時間変化は

$$\frac{dF}{dt} = \sum_p (x_p - x_p^*) (K_p - \sum_j a_{pj} x_j^* - \sum_\ell b_{p\ell} y_\ell^*) \\ + \sum_g (K_g - \sum_j a_{gj} x_j^* - \sum_\ell b_{g\ell} y_\ell^*) x_g \\ + \sum_s \beta_s (y_s - y_s^*) (-r_s + \sum_j b_{sj}^* x_j^*) + \sum_t r_t (-r_t + \sum_j b_{tj}^* x_j^*) y_s$$

$$\begin{aligned}
&= \sum_p (x_p - x_p^*) \left\{ -\sum_j a_{pj} (x_j - x_j^*) - \sum_e b_{pe} (y_e - y_e^*) \right\} \\
&\quad + \sum_g x_g \left\{ -\sum_j a_{gj} (x_j - x_j^*) - \sum_e b_{ge} (y_e - y_e^*) \right\} \\
&\quad + \sum_g x_g \left\{ k_g - \sum_j a_{gj} x_j^* - \sum_e b_{ge} y_e^* \right\} \\
&\quad + \sum_s \frac{b_{is}}{b_{sj}} (y_s - y_s^*) b_{sj}' (x_j - x_j^*) + \sum_t \frac{b_{jt}}{b_{tj}'} y_t (x_j - x_j^*) \\
&\quad + \sum_t \beta_t (-r_t + \sum_j b_{tj}' x_j^*) y_t \\
\\
&= - \sum_{ij} (x_i - x_i^*) a_{ij} (x_j - x_j^*) \\
&\quad + \sum_g (k_g - \sum_j a_{gj} x_j^* - \sum_e b_{ge} y_e^*) x_g \\
&\quad + \sum_t \beta_t (-r_t + \sum_j b_{tj}' x_j^*) y_t \\
\\
&\leq 0
\end{aligned}$$

したがつて、故に F は式 (1) の Lyapounov 関数となり平衡点は大域的に安定であることを示された。

シミュレーション 方程式系 (1) を数值的に解くことによつて平衡状態の変遷を追跡し、遷移のシミュレーションを行つた。この一連のシミュレーションにおいて捕食者の死亡率 r_k は種によらず一定とおき、また被捕食者の資源利用関数は

$$u(g, g_i) = \frac{1}{\sqrt{\pi s_1}} e^{-\frac{(g-g_i)^2}{s_1}}$$

のガウス型とした。これにより被捕食者間の競合係数は

$$a_{ij} = e^{-\frac{(g_i-g_j)^2}{2s_1}}$$

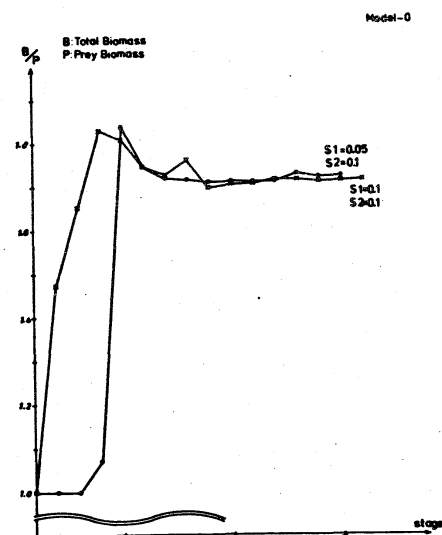
となる。

[モデル0] まず最初に系の構造を積極的に出すためにパラメターや次のようにおいた。

$$\left. \begin{aligned} K_i &= C g_i (1 - g_i) \\ b_{ie} &= e^{-\frac{(g_i - g_e)^2}{2s_2}} \\ b'_{ei} &= b_{ie}^2 \end{aligned} \right\}$$

ただし捕食者と被捕食者と同様の niche 空間を考え捕食率が niche position に依存するような場合を考えた。Margalef の仮説に対応するものが導かれるとどうかを調べるために

$$\frac{\text{全体の生体量}}{\text{被捕食者の生体量}}$$

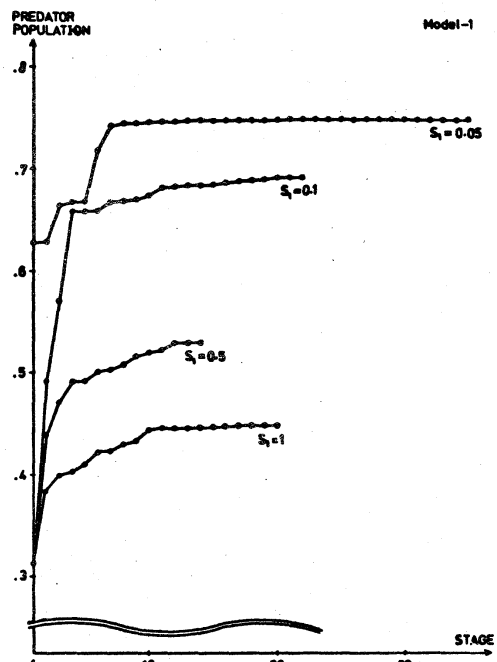


(図1 モデル0の結果)

なる量の変化を調べた。図1に示された113のは、 $S_1=0.5$
 $S_2=1$ & $S_1=1, S_2=0.1$ の二つの場合につきの結果である。
 大體として増加の傾向があるが、減少部分もあり単調増加量
 とはみなすにはまだ早い。このモデルにつきは他のまま
 エネルギー量をためしてみたが単調増加量を見出しえなかつた。
 そこでまずに相互作用の構造を単純にしてそのにつ
 いてマシミュレーションを行つた。

[モデル1] ここでは a_{ij} 以外の全てのパラメーターを種によ
 らず一定とした。この場合には捕食者は高々1種しか存在す
 ることはできないのであるが、そ
 の捕食者の生体量が遷移によって
 単調に増加していくことからかっ
 た。図1は S_1 の値が 1, .5, .1, .05
 の4つの場合につき得られた結果
 を示しており、縦軸にとった被
 捕食者の生体量が単調に増加して
 いるのがわかる。

つきに徐々に系の構造を考慮し
 ていく。



(図2 モデル1の結果)

[モデル2] このモデルでは a_{ij} は前記のモデルと同様に
し k_i をモデル0と同じく

$$K_i = c g_i (1 - g_i)$$

とし、他のパラメーターは全く種によらず一定とした。

ここで捕食者の生体量は単調に増加するとはなくなり。
そこで遷移1ステップにおける捕食者の生体量の変化分
 Δy と、被捕食者のみの生体量単調増加する量 $\sum k_i x_i$ の増
分 $\Delta(\sum k_i x_i)$ をグラフにプロットしてみた。その結果が図
3に示してある。（ここで捕食者が侵入した以後につい
てプロットせんており、捕食者が侵入すると主に常に以下の議
論の例外の場合とする。）図でみるとどうある一本の直線を
引け、プロットされた点が全てその直線の上半分に分布する
ことができる。すなむち

$$\Delta(\sum k_i x_i) > -\alpha \Delta y$$

したがって

$$\Delta(\sum k_i x_i + \alpha y) > 0$$

となり

$$\sum k_i x_i + \alpha y$$

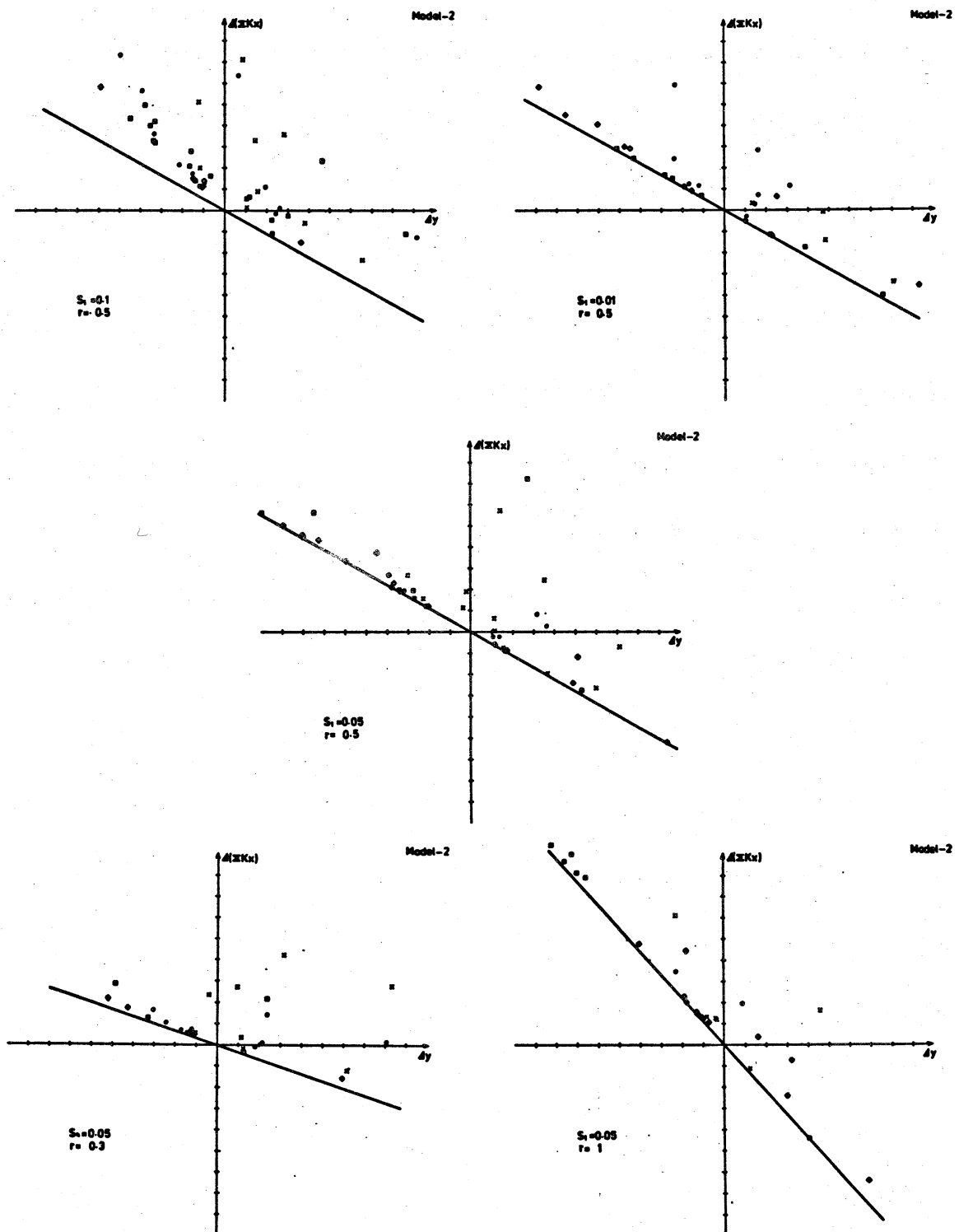


図3 モデル2の結果 上の3つは同一の傾きの直線を引け、下の2つは異った傾きの直線とする。

という量が遷移の過程で単調に増加するとかわかった。

つきに定数 α と系のパラメーターとの間の関係を調べる。まず図3の上3つの図は S_1 のみを .01, .05, .1 と変えてみて結果を示してあるが、明らかに S_1 によって傾向は変化せず、 α は S_1 には依存しないことがわかる。つきに図3の下3つの図に示してあるが、捕食者の死亡率を変えて $r = .5, .3, 1$ の場合につきマシミュレーションを行った。結果は傾かずか大きく α には影響しないが、 α は r に依存するといわかる。このモデルにおいても捕食者は1種しか存在するといつてよいが、式(1)より r の値は $\sum x_i$ の値(平衡点における値)と関係しており、種々のシミュレーションにより

$$\alpha = \sum_i b_i x_i$$

になることが確かめられた。このことからこのモデルにおける单調増加量は

$$\sum_i k_i x_i + \sum_i b_i x_i y$$

となる。

上の式の第一項は被捕食者の資源が被捕食者に流れ込むエネルギー流であり、第二項は捕食者へ流れ去る被捕食者のエネルギー流みなすことをでき、このモデルは Lotka の主

張を支持するものとなり。213。

[モデル5] このモデルでは a_{ij} , K_i をモデル2と同じにし、捕食率が被捕食者によつて異なる場合 ($s_2 > 1$) を解析した。系に存在しうる捕食者は1種だけとの制限をあき、

$$b_i = e^{-\frac{(g_i - .5)^2}{2s_2^2}}$$

$$b'_i = \beta b_i$$

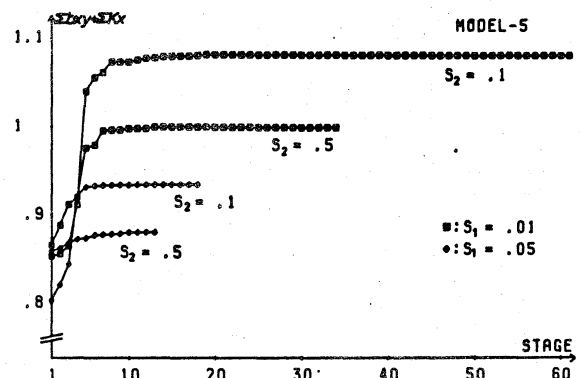
となる。これはモデル0とは捕食者が1種に限定された場合と $b'_i = \beta b_i$ (モデル0では $b'_i = b_i^2$) と (2) でと分けた場合と213。

シミュレーションの結果は図4に示され213ように

$$\sum_i K_i x_i + \sum_i b_i x_i y$$

の値が遷移と共に単調に増加 (図4 モデル5の結果) して213。

このことから、捕食者を1種に限定し、 $b'_i = \beta b_i$ の関係があれば $\sum_i K_i x_i + \sum_i b_i x_i y$ が増加することを予測されるが次のモデルでは b_i が random なところである。



[モデル7] a_{ij} , k_i をモデル2と同じにとり b_i を random にとる。またモデル5と同様系内の捕食者は高々1種とする。また

$$b'_i = \beta b_i$$

とした。

このモデルの結果は図5に示してあるが、これまでのモデルと著しく異なってこの点は遷移の途中で捕食者を絶滅してしまう点である。捕食率の小さな被捕食者の全種が侵入により、捕食者を生むまでなくなり絶滅し、次にある程度の捕食率を持つ捕食者が侵入し、またその捕食者に対する捕食率の小さな被捕食者のおも替わりがある。このような過程の繰り返しにより、この場合には遷移はこれまでのモデルとは異なり極端に違うことはない。

一つの捕食者の侵入以後、次の捕食者の侵入まで

$$\sum_i k_i x_i + \sum_i b_i x_i y$$

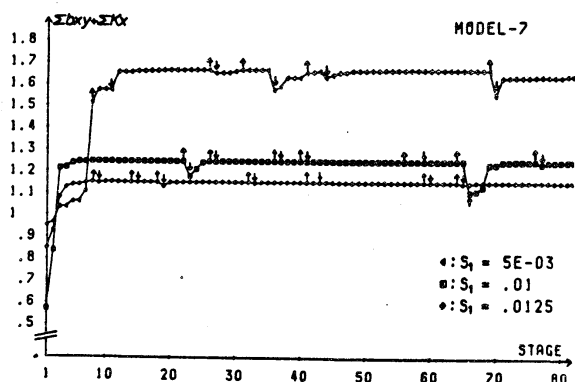


図5 モデル7の結果
↑印で捕食者を絶滅し↓印で捕食者を侵入している。

の値は増加し、捕食者の侵入によつて減少する（これまでのモデルにおいても單一捕食者であつたがその侵入の際に上記の量は減少して b_2 ）。圖から予想されるのだが、上記の量は上限があり、それ以上にはならぬからその値の附近で増減を繰り返えることになる。

おわりに 以上のところから、單一捕食者では捕食体数に

$$b'_i = \beta b_i$$

という関係がある。場合によつては

$$G = \sum_i k_i x_i + \sum_i b_i x_i y$$

という値が遷移の過程における被捕食者の侵入の際には増加し、捕食者の侵入の際には減少する、という結論を得られた。特に單一の捕食者が絶滅しない場合には、捕食者の侵入以後 G の値は増加し極値に達し G の最大値をとる。遂に G の最大の条件から極値の系の構造を解析することができる。

また、捕食の相互作用に何らかの構造がない場合には系は極値には達するとは限らない。上のシミュレーションでは單一捕食者系のみにつけて調べたが複数捕食者系においても同様の結果が生じると予想される。

$$b' = \beta b_i'$$

上のような条件が成り立たない場合は現在シミュレーションを行ってはいけない。上級のGの値にかかわらずOutputの主張する "Power" は対応する量が単調増加量となる。これは可能性を失う。